

- Соловьев Н. А., Балашов Л. С., Кременецкий А. А.* Геохимия лития, рубидия и цезия. М.: Недра, 1980. 233 с.
- Соседко А. Ф.* Материалы по минералогии и геохимии гранитных пегматитов. М.: ГНТИ, 1961. 154 с.
- Černý P., Chapman R., Teertstra D. K., Novák M.* Rubidium- and cesium-dominant micas in granitic pegmatites // Amer. Miner. 2003. Vol. 88. P. 1832–1835.
- Khanna V. K.* Note of the unusually high concentration of rubidium in a lithium mica from Govindpal area of Bastar District // J. Geol. Soc. India. 1977. Vol. 18(9). P. 500–502.
- Mandarino J. A.* The Gladstone-Dale relationship: Part IV. The compatibility concept and its application // Canad. Miner. 1981. Vol. 19. P. 441–450.
- Munoz J. L.* Physical properties of synthetic lepidolites // Amer. Miner. 1968. Vol. 53. P. 1490–1512.
- Rieder M., Cavazzini G., D'yakonov Yu. S. et al.* Nomenclature of the micas // Canad. Miner. 1998. Vol. 36. P. 905–912.
- Robert J.-L., Beny J.-M., Della Ventura G., Hardy M.* Fluorine in micas: crystal-chemical control of the OH-F distribution between trioctahedral and dioctahedral sites // Eur. J. Miner. 1993. Vol. 5. P. 7–18.
- Teertstra D. K., Černý P., Hawthorne F. C.* Rubidium-rich feldspars in granitic pegmatite from the Kola Peninsula, Russia // Canad. Miner. 1997. Vol. 35. P. 1277–1281.
- Teertstra D. K., Černý P., Hawthorne F. C.* Rubidium-rich feldspars in granitic pegmatites // Canad. Miner. 1998a. Vol. 36. P. 483–496.
- Teertstra D. K., Černý P., Hawthorne F. C., Pier J., Wang L.-M., Ewing R. C.* Rubcline, a new feldspar from San Piero in Campo, Elba, Italy // Amer. Miner. 1998c. Vol. 83. P. 1335–1339.
- Thomas R., Davidson P., Hahn A.* Ramanite-(Cs) and ramanite-(Rb): New cesium and rubidium pentaborate tetrahedrite minerals identified with Raman spectroscopy // Amer. Miner. 2008. Vol. 93. P. 1034–1042.

Поступила в редакцию
27 ноября 2008 г.

УДК 549.753.1

ЗРМО, № 3, 2009 г.
Zapiski RMO, N 3, 2009

© Д. чл. Н. В. ЧУКАНОВ, * д. чл. И. В. ПЕКОВ, ** Ш. МЁККЕЛЬ, *** А. А. МУХАНОВА, ****
Д. И. БЕЛАКОВСКИЙ, ***** Л. А. ЛЕВИЦКАЯ, ***** Г. К. БЕКЕНОВА *****

КАМАРИЦАИТ $\text{Fe}_3^{3+}(\text{AsO}_4)_2(\text{OH})_3 \cdot 3\text{H}_2\text{O}$ — НОВЫЙ МИНЕРАЛ, АРСЕНАТНЫЙ АНАЛОГ ТИНТИКИТА¹

N. V. CHUKANOV, I. V. PEKOV, S. MÖCKEL, A. A. MUKHANOVA, D. I. BELAKOVSKIY,
L. A. LEVITSKAYA, G. K. BEKENOVA. KAMARIZAITE $\text{Fe}_3^{3+}(\text{AsO}_4)_2(\text{OH})_3 \cdot 3\text{H}_2\text{O}$ — A NEW MINERAL,
ARSENATE ANALOGUE OF TINTICITE

* Институт проблем химической физики РАН, 142432, Московская обл., г. Черноголовка;
e-mail: chukanov@icp.ac.ru

** Московский государственный университет, 119899, Москва, Воробьевы горы

*** 09629, ФРГ Alpha-Geophysik, Neudorferstrasse 18, Goetheffriedrichsgrund, 09629, Germany

**** Институт экспериментальной минералогии РАН, 142432, Московская обл., г. Черноголовка

***** Минералогический музей им. А. Е. Ферсмана РАН, Москва, В-71, Ленинский пр., 18-2

***** Институт геологии рудных месторождений, петрографии, минералогии

и геохимии РАН (ИГЕМ РАН), 109017, Москва, Старомонетный пер., 35

***** Институт геологических наук им. К. И. Саппаева,
Казахстан, Алма-Ата, ул. Кабанбай-Батыра, 69а

A new mineral kamarizaite has been found in association with scorodite, jarosite and goethite on a waste dump of Kamariza mine, Lavrion mining district, Attiki Prefecture, Greece. The mineral forms fine-grained aggregates (up to 3 cm) consisting of individuals up to 1 μm in size, as well as submicroscopic botryoidal aggregates. Color yellow to beige, streak light yellow. Mohs' hardness 3. Cleavage is not observed. $D_{\text{meas}} = 3.16(1)$ g/cm³ (by hydrostatic weighing), $D_{\text{calc}} = 3.12$ g/cm³. Wavenumbers of absorption bands in the IR

¹ Новый минерал камарицайт и его название утверждены Комиссией по новым минералам, номенклатуре и классификации минералов Международной минералогической ассоциации 1 июля 2008 года.

spectrum of kamarizaite are (cm⁻¹; s — 911s, 888s, 870, 835s, 808s, 614w, 540xylation in vacuum (with the weight Mössbauer data, all iron in kamarizaite sitive. $n_{\min} = 1.825$, $n_{\max} = 1.835$, n_{mean} iron microprobe, mean of 4 point anal.; TGA data) 15.3, total 98.81 %. $(\text{AsO}_4)_{1.90}(\text{SO}_4)_{0.10}(\text{OH})_{2.74} \cdot 3.27\text{H}_2\text{O}$. horhoromic, space group $Pccm$, $Pcc2$, $V = 4603.29(5)$ Å³, $Z = 16$. The strong 6.61 (37) (112, 120), 5.85 (52) (311), 3. (58) (621, 414, 324). The holotype specie versitat Bergakademie Freiberg, Germa

Месторождение сульфидыложенное в юго-восточной части обрамлено гипергенными минералами этого объекта минеральные в возрасте около 5000 лет, причем добывая на это, минералогия зоны окрестностей регулярно появляются. Значительное число вторичны классу арсенатов.

Авторами настоящей публициант, найденный на отвале уч. Attika Prefecture, Greece). Новы

Камарицайт слагает мономорфарфоровидные агрегаты, погруженные вого минерала имеют изометрические присутствуют и тонкозернистые агрегаты и скородит находятся в тесно сколько агрегаты этих минералов видимости, эти арсенаты являются нералам и образовались в результате различных руды. При этом осно за, превратилась в лимонит. В образующий прожилки и гнезда,

Электронно-микроскопично ющем электронном микроскопе. Препараты образца для электронного методом супензии и методом номикроскопическом изучении выявлены пластинчатые частицы приближаются к прямоугольным кристаллографических очертаний

В микроскопических трещинах ружить почковидные агрегаты агрегатов по шкале Мооса состоят статического взвешивания, со сравнивания $D_{\text{выч}} = 3.12$ г/см³.

Волновые числа полос ИК-поглощающие (см⁻¹; s — сильная полоса (O—H-валентные колебания); H₂O); 1089 (валентные колебания иона AsO₄³⁻); 614w (Fe³⁺—OH); 540, 500, 478, 429 полосы карбонатных анионов.

тия, рубидия и цезия. М.: Недра,
литых пегматитов. М.: ГНТИ, 1961.
cesium-dominant micas in granitic peg-
matites // Canad. Miner. 1998. Vol. 36. P. 1490—1512.
compatibility concept and its application //
Canad. Miner. 1968. Vol. 53. P. 1490—1512.
of the micas // Canad. Miner. 1998.

micas: crystal-chemical control of the
Miner. 1993. Vol. 5. P. 7—18.
ers in granitic pegmatite from the Kola
ers in granitic pegmatites // Canad. Mi-
Ewing R. C. Rubcline, a new feldspar
. 1335—1339.
: New cesium and rubidium pentabo-
-iner. 2008. Vol. 93. P. 1034—1042.

Поступила в редакцию
27 ноября 2008 г.

ЗРМО, № 3, 2009 г.
Zapiski RMO, № 3, 2009

*** A. A. МУХАНОВА, ***
К. БЕКЕНОВА*****

НОВЫЙ МИНЕРАЛ, ИКИТА¹

JOVA, D. I. BELAKOVSKIY,
 $(\text{OH})_3 \cdot 3\text{H}_2\text{O}$ — A NEW MINERAL,
SITE

евская обл., г. Черноголовка;

Москва, Воробьевы горы
iedrichsgrund, 09629, Germany
Лосковская обл., г. Черноголовка
ва, В-71, Ленинский пр., 18-2
прографии, минералогии
омонетный пер., 35
И. Саппанаева,
ыра, 69а

odite, jarosite and goethite on a waste
reece. The mineral forms fine-grained
well as submicroscopic botryoidal ag-
3. Cleavage is not observed. $D_{\text{мем}}$
bers of absorption bands in the IR

лиссий по новым минералам, но-
ралогической ассоциации 1 июля

spectrum of kamarizaite are (cm^{-1} ; s — strong band, w — weak band): 3552, 3315s, 3115, 1650w, 1620w, 1089, 911s, 888s, 870, 835s, 808s, 614w, 540, 500, 478, 429. By TG and IR data, complete dehydration and dehydroxylation in vacuum (with the weight loss of 15.3(1) %) occurs in the temperature range 110—420 °C. By Mössbauer data, all iron in kamarizaite is Fe^{3+} with octahedral coordination. Kamarizaite is optically biaxial, positive. $n_{\text{min}} = 1.825$, $n_{\text{max}} = 1.835$, $n_{\text{mean}} = 1.83(1)$ (for a fine-grained aggregate). Chemical composition is (electron microprobe, mean of 4 point analyses, wt %): CaO 0.35, Fe_2O_3 41.78, As_2O_5 39.89, SO_3 1.49, H_2O (by TGA data) 15.3, total 98.81 %. The empirical formula, based on $(\text{AsO}_4, \text{SO}_4)_2$ is: $\text{Ca}_{0.03}\text{Fe}_{2.86}^{3+}(\text{AsO}_4)_{1.90}(\text{SO}_4)_{0.10}(\text{OH})_{2.74} \cdot 3.27\text{H}_2\text{O}$. The idealized formula is $\text{Fe}_3^{3+}(\text{AsO}_4)_2(\text{OH})_3 \cdot 3\text{H}_2\text{O}$. Kamarizaite is orthorhombic, space group $Pccm$, $Pcc2$, Pcm , $Pcm2_1$ or $Pc2m$; $a = 21.32(1)$, $b = 13.666(6)$, $c = 15.80(1)$ Å, $V = 4603.29(5)$ Å³, $Z = 16$. The strongest reflections of the powder diffraction pattern [d , Å (I , %) (hkl)] are: 6.61 (37) (112, 120), 5.85 (52) (311), 3.947 (100) (004, 032, 511), 3.396 (37) (133, 431), 3.332 (60) (314), 3.085 (58) (621, 414, 324). The holotype specimen is deposited in the Mineralogical Collection of the Technische Universität Bergakademie Freiberg, Germany (inventory number 82199).

Месторождение сульфидных свинцово-цинковых руд Лаурион (Лаврион), расположенное в юго-восточной части полуострова Аттики (Греция), широко известно разнообразием гипергенных минералов, включающим многие редкие и эндемичные для этого объекта минеральные виды. Месторождение разрабатывалось с перерывами около 5000 лет, причем добыча руды продолжалась до конца XX столетия. Несмотря на это, минералогия зоны окисления Лауриона изучена недостаточно, о чем свидетельствуют регулярно появляющиеся сообщения об открытии здесь новых минералов. Значительное число вторичных минералов окисленных руд Лауриона принадлежит к классу арсенатов.

Авторами настоящей публикации изучен новый водный арсенат железа камарицайт, найденный на отвале участка Камарица (Kamariza mining area, Lavrion District, Attika Prefecture, Greece). Новый минерал назван по месту находки.

Камарицайт слагает мономинеральные тонкозернистые светло-желтые и бежевые фарфоровидные агрегаты, погруженные в массивный лимонит (рис. 1). Агрегаты нового минерала имеют изометрическую форму, их размер достигает 3 см. В этой ассоциации присутствуют и тонкозернистые агрегаты скородита. Несмотря на то что камарицайт и скородит находятся в тесной ассоциации, они не образуют микросрастаний, поскольку агрегаты этих минералов всегда обособлены друг от друга. По всей видимости, эти арсенаты являются псевдоморфозами по различным арсенатным минералам и образовались в результате гипергенного изменения первичной полиметаллической руды. При этом основная масса руды, сложенная некогда сульфидом железа, превратилась в лимонит. В ассоциации с камарицайтом установлен также ярозит, образующий прожилки и гнезда в лимоните.

Электронно-микроскопическое изучение образца было проведено на просвечивающем электронном микроскопе JEM-100CX при ускоряющем напряжении 100 кВ. Препараты образца для электронно-микроскопического изучения были подготовлены методом суспензии и методом препаратов «сухого» препарирования. При электронно-микроскопическом изучении обоих препаратов в проходящих электронах были выявлены пластиначатые частицы субмикронных размеров, формы которых в плане приближаются к прямоугольнику (рис. 2), а также рыхлые агрегаты частиц без явных кристаллографических очертаний.

В микроскопических трещинах с помощью электронного микроскопа можно обнаружить почковидные агрегаты камарицайта (рис. 3). Минерал хрупкий, твердость его агрегатов по шкале Мооса составляет около 3. Плотность, измеренная методом гидростатического взвешивания, составляет $D_{\text{изм}} = 3.16(1)$ г/см³, вычисленная плотность равна $D_{\text{вы}} = 3.12$ г/см³.

Волновые числа полос ИК-спектра поглощения камарицайта и их отнесение следующие (cm^{-1} ; s — сильная полоса; w — слабая полоса; рис. 4, a): 3552, 3315s, 3115 (O—Н-валентные колебания); 1650w, 1620w (деформационные колебания молекул H_2O); 1089 (валентные колебания ионов SO_4^{2-}); 911s, 888s, 870, 835s, 808s (валентные колебания ионов AsO_4^{3-}); 614w (деформационные колебания ионов AsO_4^{3-} и/или групп Fe^{3+} —ОН); 540, 500, 478, 429 (Fe^{3+} —О-валентные колебания). Характеристические полосы карбонатных анионов в ИК-спектре отсутствуют.



Рис. 1. Камарицайт (1) и скородит (2) в лимонит-ярозитовой руде.

Fig. 1. Kamarizaite (1) and scorodite (2) in limonite-jarosite ore.

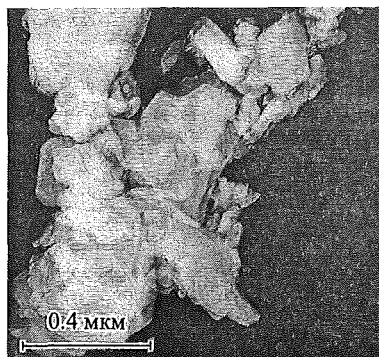


Рис. 2. Агрегат кристаллов камарицайта. Изображение в проходящих электронах.

Fig. 2. Aggregate of crystals of kamarizaite. TEM image.

Потеря веса в результате нагревания камарицайта в вакууме от 28 до 600 °C (при скорости нагрева 4 °C) составляет 15.3(1) %. Процесс, сопровождающийся выходом летучих продуктов, начинается при 110 °C, достигает максимальной скорости при 230 °C и завершается при 420 °C. В температурном интервале 420—600 °C изменения веса не происходит. При температуре 420 °C процессы дегидратации и дегидроксилирования полностью завершаются, о чем свидетельствует исчезновение полос в области О—Н-валентных колебаний (диапазон 3000—3700 cm^{-1} ; рис. 4, б). Последующий нагрев до 600 °C приводит к структурной перестройке, сопровождающейся изменением ИК-спектра (рис. 4, в). При этом полосы поглощения ионов SO_4^{2-} и AsO_4^{3-} в спектрах продуктов пиролиза камарицайта при 420 и 600 °C сохраняются, меняется лишь их конфигурация.

В мёссбауэровском (ЯГР) спектре камарицайта (рис. 6) присутствуют два слабо разрешенных дублета, которые относятся к двум локальным состояниям ионов Fe^{3+} , находящихся в октаэдрическом окружении. Изомерные сдвиги и квадрупольное расщепление составляют соответственно 0.273 и 0.863 mm/s для первого дублета, 0.284 и 0.440 mm/s — для второго. Относительные площади дублетов равны соответственно 69.1 и 30.9 %. По данным ЯГР, ионы Fe^{2+} в минерале отсутствуют.

Под микроскопом в проходящем свете камарицайт желтый, плеохроизма не наблюдается. Минерал оптически положительный двуосный. Из-за малых размеров индивидов, как правило, не превышающих 1 μm , оптические константы измерить не

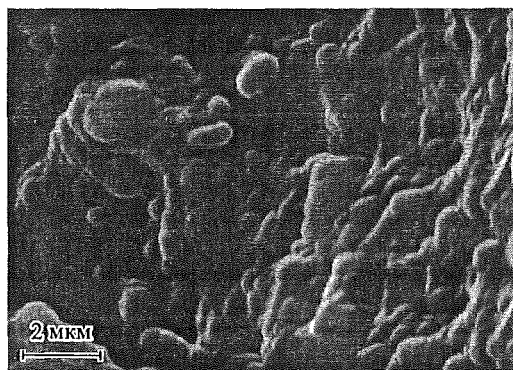


Рис. 3. Почкивидные агрегаты камарицайта. РЭМ-изображение.

Fig. 3. Kidney-shaped aggregates of kamarizaite; REM-image.

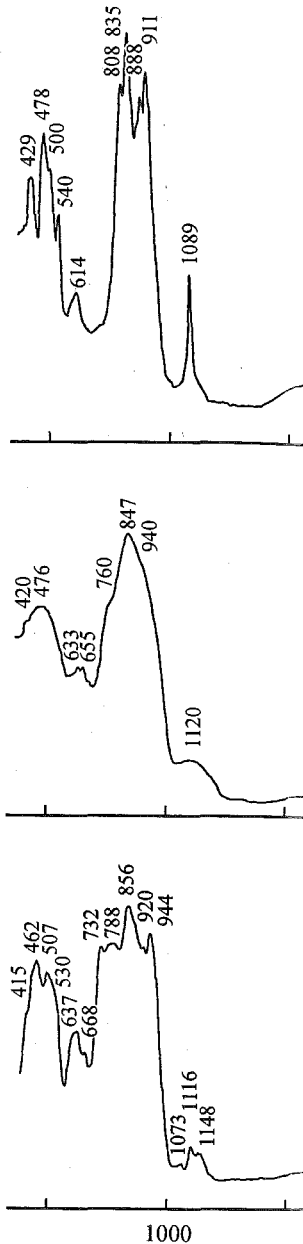


Рис. 4. ИК-спектры камарицайта (а)
Fig. 4. IR spectra of kamarizaite (a) and pr

удалось. Наименьший и наибольший $n_{\min} = 1.825$, $n_{\max} = 1.835$. Средний зернистого оптически изотропного

Химический состав камарицайта определен сканирующим электронным микроскопом (INCAx-sight) анализатором. Анал



кристаллов камарицита. Изображение проходящих электронов.
of crystals of kamarizaite. TEM image.

вакууме от 28 до 600 °C (при процессе, сопровождающийся достигает максимальной скоростью интервале 420—600 °C из-за процессы дегидратации и дальнейшее исчезновение полосы поглощения ионов SO_4^{2-} в 3000—3700 cm^{-1} ; рис. 4, б). В перестройке, сопровождающейся поглощением ионов SO_4^{2-} в 20 и 600 °C сохраняются, ме-

дяется (рис. 6) присутствуют два слабо выраженных состояниям ионов Fe^{3+} , сдвиги и квадрупольное расщепление для первого дублета, 0.284 и 0.286 cm^{-1} . Дублетов равны соответственно 0.284 и 0.286 cm^{-1} .
желтый, плеохроизма не наблюдается. Из-за малых размеров индивидуальных кристаллов константы измерить не

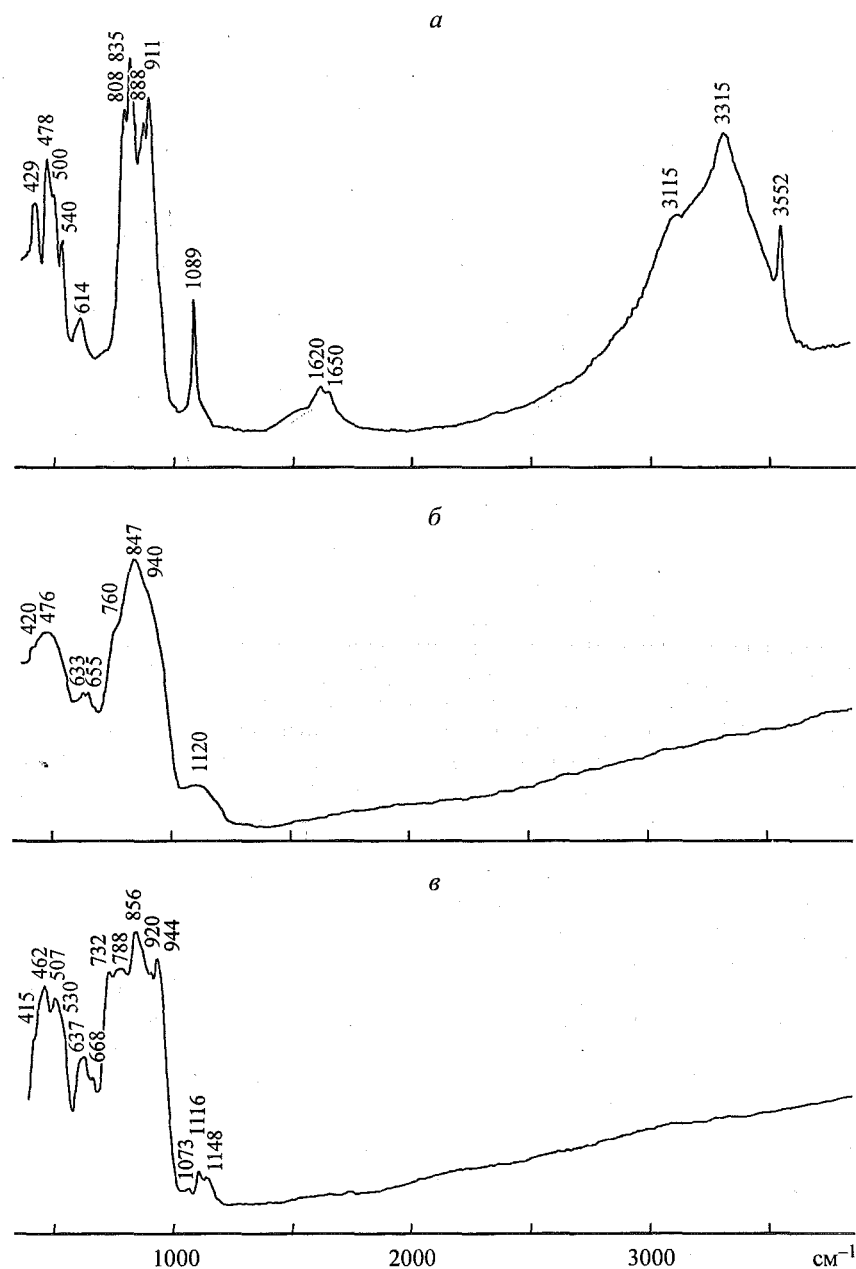


Рис. 4. ИК-спектры камарицита (а) и продуктов его нагрева в вакууме до 420 °C (б) и 600 °C (с).
Fig. 4. IR spectra of kamarizaite (a) and products of its heating in vacuum up to 420 °C (b) and up to 600 °C (c).

удалось. Наименьший и наибольший наблюдаемые показатели преломления равны: $n_{\min} = 1.825$, $n_{\max} = 1.835$. Средний показатель преломления, измеренный для тонко-зернистого оптически изотропного агрегата, равен 1.83(1).

Химический состав камарицита определяли рентгеноспектральным методом на сканирующем электронном микроскопе Tescan Vega II XMU с энергодисперсионным (INCAx-sight) анализатором. Анализ выполняли при ускоряющем напряжении на



М-изображение.
; REM-image.

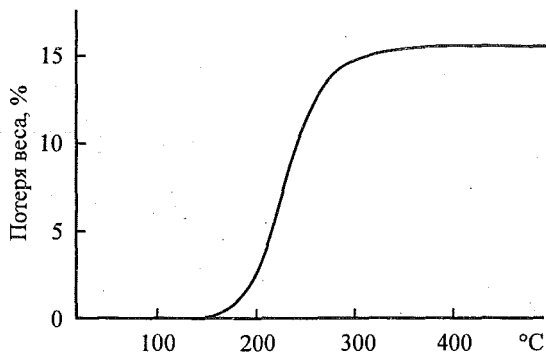


Рис. 5. Термогравиметрическая кривая камарицита ($m_0 = 44.7$ мг, скорость нагрева 4 °C/мин).

Fig. 5. Thermogravimetric curve of kamarizaite ($m_0 = 44.7$, heating rate 4 °C/min).

вольфрамовом катоде 20 кВ и токе зонда 0.5 нА. Размер анализируемой области составлял 10×10 мкм, угол отбора рентгеновского излучения 35° , фокусное расстояние между образцом и детектором 25 мм. Результаты определения химического состава (среднее из 4 локальных анализов) приведены в табл. 1. Содержания F, Na, Mg, P, K, Sr, Ba, Al, Si, V, Mn, Zn, Co, Ni, Cr, Pb, Bi, Sb, Cl ниже пределов обнаружения для этих элементов (т. е. <0.05 — 0.3 мас. %). Эмпирическая формула минерала в расчете на $(\text{AsO}_4,\text{SO}_4)_2$ следующая: $\text{Ca}_{0.03}\text{Fe}^{3+}_{2.86}(\text{AsO}_4)_{1.90}(\text{SO}_4)_{0.10}(\text{OH})_{2.74} \cdot 3.27\text{H}_2\text{O}$.

При расчете последней формулы для железа принята валентность 3 (в соответствии с данными ЯГР), содержание H_2O 15.3 % (по данным ТГА, с контролем полноты дегидратации/дегидроксилирования методом ИКС), распределение водорода между группами OH и молекулами H_2O произведено с учетом требования баланса зарядов.

Идеализированная формула: $\text{Fe}^{3+}_3(\text{AsO}_4)_2(\text{OH})_3 \cdot 3\text{H}_2\text{O}$, или (с учетом данных мёссбауэровской спектроскопии, показывающих присутствие двух позиций Fe^{3+} с соотношением атомных количеств около $2 : 1$) $\text{Fe}^{3+}_2\text{Fe}^{3+}_1(\text{AsO}_4)_2(\text{OH})_3 \cdot 3\text{H}_2\text{O}$.

Рентгенограмма порошка камарицита получена с помощью дифрактометра D/MAX-2200 (фирма Rigaku), на Cu K_α -излучении (табл. 2). По главным линиям порошковограммы камарицайт близок к фосфату тинтикуту $\text{Fe}^{3+}_3(\text{PO}_4)_2(\text{OH})_3 \cdot 3.5\text{H}_2\text{O}$ (Stringham, 1946, 1962; Sakurai et al., 1991). Этот факт наряду со сходством стехиометрии и морфологических особенностей указывает на то, что камарицайт и тинтикуит —

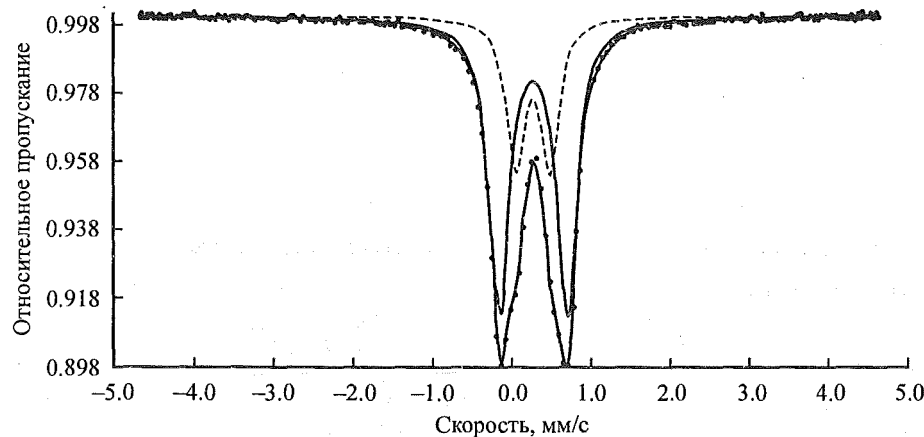


Рис. 6. Мёссбауэрский спектр камарицита.

Fig. 6. Mössbauer spectrum of kamarizaite.

Компонент	Среднее содержание
CaO	0.35
Fe ₂ O ₃	41.78
As ₂ O ₅	39.89
SO ₃	1.49
H ₂ O*	15.3(1)
Сумма	98.81

Примечание. * По данным ТГА.

Порошковые
X-ray р

$I_{\text{изм}} \%$	$d_{\text{изм}} \text{\AA}$	
27	6.84	6.839, 6.833
37	6.61	6.513, 6.507
16	6.25	6.305
52	5.85	5.856
7	5.28	5.330, 5.284
7	4.70	4.737, 4.702
11	4.50	4.555, 4.463
8	4.085	4.094, 4.071
100	3.947	3.950, 3.946
7	3.702	3.704, 3.701
8	3.619	3.618, 3.617
17	3.450	3.453, 3.450
37	3.396	3.401, 3.383
60	3.332	3.347
23	3.283	3.289, 3.285
34	3.245	3.256, 3.254
6	3.191	3.187
23	3.119	3.113
58	3.085	3.092, 3.091
51	3.036	3.047, 3.022
4	2.972	2.982, 2.973
3	2.923	2.928, 2.922
10	2.768	2.770, 2.768
5	2.753	2.759, 2.752
9	2.679	2.680, 2.672
20	2.640	2.642, 2.641
6	2.587	2.589, 2.586
19	2.553	2.557, 2.551
18	2.534	5.532
8	2.499	2.500, 2.496
10	2.450	2.453, 2.445
16	2.399	2.404, 2.394

Таблица 1

Химический состав камарицита (мас. %)

Chemical composition of kamarizaite (wt %)

Компонент	Среднее содержание	Пределы колебаний	Стандартное отклонение	Эталон
CaO	0.35	0.26—0.43	0.05	Волластонит
Fe ₂ O ₃	41.78	41.16—42.89	0.4	Fe
As ₂ O ₅	39.89	39.20—40.56	0.5	As
SO ₃	1.49	1.43—1.57	0.04	FeS ₂
H ₂ O*	15.3(1)			
Сумма	98.81			

Примечание. * По данным ТГА.

скорость нагрева 4 °C/мин).
heating rate 4 °C/min).

нализируемой области сопия 35°, фокусное расстояние химического соп. 1. Содержания F, Na, Mg, пределов обнаружения для формула минерала в расчете $\text{Fe}_2\text{O}_3 \cdot 3.27\text{H}_2\text{O}$.

алентность 3 (в соответствии с ТГА, с контролем полноты определение водорода между требованием баланса зарядов. или (с учетом данных о свиве двух позиций Fe³⁺ с соединением $\text{Fe}_3(\text{PO}_4)_2(\text{OH})_3 \cdot 3\text{H}_2\text{O}$. помощью дифрактометра (2). По главным линиям получены $\text{Fe}_3^{3+}(\text{PO}_4)_2(\text{OH})_3 \cdot 3.5\text{H}_2\text{O}$ со сходством стехиометрии камарицайт и тинтиkit —

Таблица 2

Порошковые рентгеновские данные для камарицита

X-ray powder-diffraction data for kamarizaite

$I_{изм}$ %	$d_{изм}$ Å	d_{calc} , Å	hkl
27	6.84	6.839, 6.833	012, 020
37	6.61	6.513, 6.507	112, 120
16	6.25	6.305	310
52	5.85	5.856	311
7	5.28	5.330, 5.284	400, 302
7	4.70	4.737, 4.702	411, 321
11	4.50	4.555, 4.463	030, 213
8	4.085	4.094, 4.071	123, 510
100	3.947	3.950, 3.946, 3.942	004, 032, 511
7	3.702	3.704, 3.701	204, 232
8	3.619	3.618, 3.617, 3.613	512, 520, 413
17	3.450	3.453, 3.450	304, 332
37	3.396	3.401, 3.383	133, 431
60	3.332	3.347	314
23	3.283	3.289, 3.285, 3.278	522, 423, 233
34	3.245	3.256, 3.254, 3.241	224, 240, 602
6	3.191	3.187	241
23	3.119	3.113	530
58	3.085	3.092, 3.091, 3.082	621, 414, 324
51	3.036	3.047, 3.022	115, 341
4	2.972	2.982, 2.973, 2.958	523, 710, 215
3	2.923	2.928, 2.922	622, 711
10	2.768	2.770, 2.768	225, 243
5	2.753	2.759, 2.752	631, 334
9	2.679	2.680, 2.672	533, 151
20	2.640	2.642, 2.641	604, 632
6	2.587	2.589, 2.586	713, 016
19	2.553	2.557, 2.551	206, 350
18	2.534	5.532	730
8	2.499	2.500, 2.496	731, 515
10	2.450	2.453, 2.445	821, 534
16	2.399	2.404, 2.394	451, 226

Таблица 2 (продолжение)

<i>I_{нзм}</i> , %	<i>d_{нзм}</i> , Å	<i>d_{calc}</i> , Å	<i>hkl</i>	Справительный Compar
12	2.371	2.375, 2.369	714, 822	
9	2.365	2.366, 2.361	253, 406	
16	2.303	2.306, 2.301, 2.300	145, 550, 830	
11	2.203	2.206, 2.205, 2.199	261, 345, 254	
7	2.160	2.165, 2.153	715, 922	
9	2.137	2.143, 2.134	354, 913	
4	2.067	2.071, 2.060	454, 923	
12	2.017	2.019, 2.018, 2.015	10.2.1, 751, 815	
9	1.967	1.970, 1.970, 1.967, 1.965	744, 752, 108, 164	
22	1.956	1.956, 1.955, 1.952	10.1.3, 018, 825	
6	1.908	1.908, 1.906	850, 271	
4	1.855	1.856, 1.855, 1.855, 1.855, 1.855	816, 934, 844, 852, 247	
4	1.841	1.841	165	
3	1.821	1.821, 1.821, 1.820	471, 265, 347	
13	1.795	1.798, 1.797, 1.794, 1.792	717, 10.4.1, 853, 508	
3	1.773	1.775, 1.773, 1.772	570, 373, 11.3.1	
9	1.740	1.740, 1.740	11.0.4, 11.3.2	
7	1.712	1.713, 1.711, 1.711, 1.711, 1.710, 1.710	618, 10.2.5, 670, 10.4.3, 755, 048	
9	1.693	1.695, 1.695, 1.695, 1.693, 1.691, 1.691	565, 129, 953, 181, 862, 319	
3	1.640	1.641, 1.640, 1.639, 1.639	275, 11.1.5, 665, 466	
10	1.626	1.627, 1.627, 1.626	673, 480, 11.3.4	
9	1.624	1.625, 1.623	382, 917	
12	1.579	1.581, 1.580, 1.580, 1.579, 1.579, 1.578	11.5.0, 0.0.10, 765, 529, 12.3.3, 581	
18	1.559	1.562, 1.561, 1.558, 1.557, 1.557, 1.557	358, 11.0.6, 955, 149, 738, 10.3.6	
4	1.543	1.544, 1.543, 1.542	872, 13.3.0, 3.0.10	
9	1.528	1.529, 1.527, 1.527	539, 10.6.2, 12.3.4	
5	1.516	1.517, 1.516, 1.515, 1.515, 1.515	908, 964, 4.0.10, 13.0.4, 190	
Минерал				
Формула				
Симметрия				
Пространственная группа				
<i>a</i> , Å				
<i>b</i> , Å				
<i>c</i> , Å				
<i>V</i> , Å ³				
<i>Z</i>				
Сильные линии рентгенограммы порошка: <i>d</i> , Å — <i>I</i> , %				
Оптические характеристики				
Плотность, г/см ³				
Твердость по Моосу				
Ссылка				

родственные минералы. Учитывая, что история изучения тинтикита достаточно сложна, а опубликованные по этому минералу данные отчасти противоречивы, ниже мы даем краткий перечень этих данных.

Тинтикит был впервые найден в горах Тинтик (Tintic Standard Mine, Tintic, Utah, USA) и описан как новый минерал с формулой $2\text{FePO}_4 \cdot \text{Fe(OH)}_3 \cdot 3\text{H}_2\text{O} = \text{Fe}_3^+(\text{PO}_4)_2(\text{OH})_3 \cdot 3\text{H}_2\text{O}$ (Stringham, 1946). Дополнительные исследования, в том числе рентгенографические и ИК-спектроскопические, подтвердили индивидуальность тинтикита из Тинтика как самостоятельного минерального вида (Stringham, 1962). Минерал образует тонкозернистые агрегаты, сложенные преимущественно индивидами субмикроскопических размеров. Наиболее крупные кристаллы имеют вид прямоугольных пластинок с наибольшим размером до 1.67 мкм и толщиной около 0.1 мкм. Из-за отсутствия подходящих монокристаллов монокристалльные исследования не были выполнены. На основе порошковых данных была найдена ромбическая ячейка минерала. Подобно камарицита содержит примесь серы (около 1 мас. % SO₃).

Позже минерал, близкий тинтикиту по порошковой картины, ИК-спектру, термическим характеристикам и ряду других физических свойств, был найден в Гава Бругуэрс (Gavá Bruguers) близ Барселоны в Испании. Этот минерал отличается от тинтикита из Тинтика химическим составом, в частности примесью ванадия. Авторы исследования минерала из Гава Бругуэрс дают для него идеализированную формулу $\text{Fe}_4^+(\text{PO}_4)_3(\text{OH})_3 \cdot 5\text{H}_2\text{O}$ и моноклинную ячейку с параметрами: *a* = 13.65, *b* = 6.542, *c* = 12.31 Å, β = 91.2°, *V* = 1099 Å³, *Z* = 3 (Melgarejo et al., 1988). Несмотря на эти явные отличия от оригинального тинтикита, минерал из Гава Бругуэрс был описан под тем же названием «тинтикит».

Почти одновременно с испытанием Сува (Suwa mine) в префектуре подтвердило первоначальную формулу оригинального тинтикита из Тинтика порошковым рентгенографическим методом с параметрами: *a* = 20.85, *b* = 13.51, *c* = 12.31 Å, β = 91.2°, *V* = 505.1 Å³.

Впоследствии кристаллический метод (Stringham, 1962; Melgarejo et al., 2000) на основе порошковых результатов подтвердил, что в Гава Бругуэрс (Gavá Bruguers). Так как модель структуры была получена с помощью структурного моделирования *ab initio* методом Мартинса (Martin et al., 1999), то это подтверждает правильность структуры тинтикита из Тинтика. Важно отметить, что для получения правильной структуры тинтикита из Тинтика было необходимо использовать триклиническую (P1̄) симметрию, что является необычным для этого минерала. Это подтверждает правильность структуры тинтикита из Тинтика.

Обобщая сказанное выше, можно сказать, что в Гава Бругуэрс (Gavá Bruguers) существуют два минерала, называемые тинтикитом и тинтикитом из Тинтика.

Таблица 2 (продолжение)

hkl
2
6
0,830
5,254
2
3
3
751,815
2,108,164
018,825
1
4,844,852,247
5,347
4,4.1,853,508
3,11.3.1
11.3.2
2.5,670,10.4.3,755,048
9,953,181,862,319
1.5,665,466
0,11.3.4
7
0.0.10,765,529,12.3.3,581
0.6,955,149,738,10.3.6
3.0,3.0.10
6.2,12.3.4
4,4.0.10,13.0.4,190

титникита достаточно сложны и противоречивы, ниже мы

Standard Mine, Tintic, Utah, $\text{Fe}_3^{3+}(\text{AsO}_4)_2(\text{OH})_3 \cdot 3\text{H}_2\text{O} = \text{Fe}_3^{3+}\text{O} \cdot \text{Fe}(\text{OH})_3 \cdot 3\text{H}_2\text{O}$ — это минерал с уникальной индивидуальностью тиннита (Stringham, 1962). Минерал имеет вид прямоугольных субпараллелепипедов, размером около 0,1 мкм. Из-за отсутствия ванадия не были выполнены определения твердости по Моосу. Плотность минерала составляет 3,0 г/см³. ИК-спектр, термический анализ показал, что минерал был найден в Гава Бругузес. Аналитическое исследование показало, что минерал отличается от тиннита тем, что в нем отсутствует ванадий. Авторы исследования определили формулу тиннита: $a = 13.65$, $b = 6.542$, $c = 9.88$. Несмотря на эти явные противоречия, минерал был описан под тем

Таблица 3

Сравнительные данные для камарицайта и титникита

Comparative data for kamarizaite and tinticite

Минерал	Камарицайт	Титникит ромбический
Формула	$\text{Fe}_3^{3+}(\text{AsO}_4)_2(\text{OH})_3 \cdot 3\text{H}_2\text{O}$	$\text{Fe}_3^{3+}(\text{PO}_4)_2(\text{OH})_3 \cdot 3\text{H}_2\text{O}$
Симметрия	Ромбический	Ромбический
Пространственная группа	$Pccm$, Pcc_2 , Pcm , $Pcm2_1$ или $Pc2m$	
a , Å	21.32	20.85
b , Å	13.666	13.51
c , Å	15.80	15.82
V , Å ³	4603	4456
Z	16	16
Сильные линии рентгенограммы порошка: d , Å — I , %	6.84—27 6.61—37 6.25—16 5.85—52 3.947—100 3.396—37 3.332—60 3.245—34 3.085—58 3.036—51	6.87—27 6.50—20 6.17—28 5.78—40 4.62—30 3.949—100 3.310—70 3.185—16 3.082—18 3.030—15 2.988—45
Оптические характеристики	Двусный (+); $n_{cp} = 1.83$	Двусный (+); $n_{cp} = 1.745$
Плотность, г/см ³	3.12 (вычисленная) 3.16 (измеренная)	2.76 (вычисленная) 2.8 (измеренная)
Твердость по Моосу	3	2.5
Ссылка	Данные настоящей работы	Stringham 1946, 1962; Sakurai et al., 1991

Почти одновременно с испанской находкой титникита был обнаружен на руднике Сува (Suwa mine) в префектуре Нагано, Япония (Sakurai et al., 1991). Его изучение подтвердило первоначальную формулу $\text{Fe}_3^{3+}(\text{PO}_4)_2(\text{OH})_3 \cdot 3\text{H}_2\text{O}$, установленную для оригинального титникита из Тинтика. Кроме того, для титникита из Японии по порошковым рентгенографическим данным была определена ромбическая ячейка с параметрами: $a = 20.85$, $b = 13.51$, $c = 15.82$ Å, $V = 4456$ Å³, $Z = 16$.

Впоследствии кристаллическая структура титникита была изучена (Rius et al., 2000) на основе порошковых рентгенографических данных методом Ритвельда. При этом был изучен не оригинальный материал, а ванадийсодержащий минерал из Гава Бругузес. Так как модель структуры была неизвестна, авторы этой работы выполнили структурное моделирование *ab initio*, задав эмпирическую формулу $\text{Fe}_{5.34}^{3+}(\text{PO}_4)_{3.62}(\text{VO}_4)_{0.38}(\text{OH})_4 \cdot 6.7\text{H}_2\text{O}$ (идеализированная формула $\text{Fe}_4^{3+}(\text{PO}_4)_3(\text{OH})_3 \cdot 5\text{H}_2\text{O}$). Несмотря на то, что для получения приемлемой модели пришлось понизить симметрию до триклинической ($P\bar{1}$), расхождение уточненной структуры с экспериментом оказалось довольно высоким ($R_{wp} = 13.1\%$). В результате уточнения была найдена ячейка с параметрами: $a = 7.965$, $b = 9.999$, $c = 7.644$ Å, $\alpha = 103.94^\circ$, $\beta = 115.91^\circ$, $\gamma = 67.86^\circ$, $V = 505.1$ Å³. По признанию авторов работы (Rius et al., 2000), «вследствие сложности разупорядоченности в этой структуре, уточненная модель описывает структуру лишь частично».

Обобщая сказанное выше, можно заключить, что, по всей видимости, в природе существуют два минерала, называемых сейчас титникитом, близкие по рентгенографическим свойствам.

физическими характеристиками и физическими свойствами, но существенно отличающиеся по химическому составу, в первую очередь по соотношению Fe : P. Один минерал, отобранный из месторождений Тинтик и Сува, характеризуется идеализированной формулой $\text{Fe}_3^{3+}(\text{PO}_4)_2(\text{OH})_3 \cdot 3\text{H}_2\text{O}$ и, вероятно, имеет ромбическую симметрию (Stringham, 1962; Sakurai et al., 1991), другой минерал из Гава Бругэрс имеет формулу $\text{Fe}_4^{3+}(\text{PO}_4)_3(\text{OH})_3 \cdot 5\text{H}_2\text{O}$ и считается триклиническим (Rius et al., 2000).

По ряду основных характеристик (стехиометрия, рентгенограмма, морфология) камарицай является близким аналогом ромбического тинтикита (табл. 3). Поэтому при индексировании рентгенограммы нами была взята за основу ромбическая ячейка, найденная для тинтикита (Sakurai et al., 1991). Погасания указывают на возможные пространственные группы $Pccm$, $Pcc2$, Pcm , $Pcm2_1$ или $Pc2m$. Уточненные по порошковограмме параметры элементарной ячейки камарицайта: $a = 21.32(1)$, $b = 13.666(6)$, $c = 15.80(1)$ Å, $V = 4603(5)$ Å³, $Z = 16$. Правильность выбора элементарной ячейки подтверждается реалистичным значением вычисленной плотности, а также хорошей сходимостью состава, плотности и среднего показателя преломления по критерию Гладстоуна-Дейла: $1 - (K_p/K_C) = -0.046$ («Good») для $D_{выч}$; $1 - (K_p/K_C) = -0.031$ («Excellent») для $D_{изм}$. Использование параметров триклинической ячейки приводит к значительному расхождению между $D_{выч}$ и $D_{изм}$, а также к плохой сходимости по критерию Гладстоуна-Дейла.

Голотипный образец камарицита хранится в Минералогической коллекции Технического университета Горной академии г. Фрайберга (Mineralogical Collection of the Technische Universität Bergakademie Freiberg), Германия; инвентарный номер 82199. Фрагмент голотипа камарицита передан в Минералогический музей им. А. Е. Ферсмана РАН, регистрационный номер 3757/1.

Список литературы

- Melgarejo J. C., Galí S., Ayora C.* Tinticite: New structural and chemical data // N. Jahrbuch Mineral. Monatsh. **1988**. P. 446—453.
Rius J., Louér D., Louér M., Galí S., Melgarejo J. C. Structure solution from powder data of the phosphate hydrate tinticite // Eur. J. Miner. **2000**. Vol. 12. P. 581—588.
Sakurai K., Matsubara S., Kato A. Tinticite from the Suwa mine, Chino city, Nagano prefecture, Japan // Miner. J. **1991**. Vol. 15. N 6. P. 261—267.
Stringham B. Tinticite, a new mineral from Utah // Amer. Miner. **1946**. Vol. 31. P. 395—400.
Stringham B. Validity of tinticite // Amer. Miner. **1962**. Vol. 47. P. 1187—1189.

Поступила в редакцию
14 октября 2008 г.

УДК 549.061

Zapiski RMO, N 3, 2009 r.

© Почетный член А. Г. БУЛАХ

ИЗОМОРФИЗМ И ВЫБОР НАЗВАНИЯ МИНЕРАЛА

A. G. BULAKH. CHEMICAL SUBSTITUTION AND CHOOSING THE MINERAL NAME

*Кафедра минералогии Санкт-Петербургского государственного университета,
199034, Санкт-Петербург, Университетская наб., 7/9;
e-mail: andreygleb@mail.ru*

Two rules are taken under critical consideration to choose the name for a mineral with mixed composition: according to dominant constituent, and after dominant valency. Examples are given for a trigonal carbonate and for tourmaline.

108

В русской литературе обр под названием «изоморфизмические замещения» (chem трактуется одинаково.

ЗАМЕНИТЕ

Обратимся к двум минералам

1. Пусть тригональный катион химическое замещение M^+ . Минерал по составу ближе к катиону. Так минерал и может быть

2. Пусть формула турмалина $(\text{OH})_3$ — нами взят пример из видно, все химические замещающие магния: (a, b, c) $\text{Mg}^{2+} \leftrightarrow \text{Fe}^{2+} \leftrightarrow \text{Mn}^{2+}$. В позиции Y количественные соотношения $a:b:c = \text{Mn}_{0.5}$. Пара $(\text{Li} + \text{Al})$ явно не может быть определена, следовательно, следует называть Fe-Mn-Mg-содержащим турмалином. Видимо, введенная нами следующая идеальная формула турмалина — $\text{NaMg}_3\text{Al}_6\ldots$, для шерлита и альмандиновых турмалинов используется в учебниках.

ПРЕ ИДОМ

Выше мы использовали при них мы приняли химические элементы в мере это строго отвечает только минералам, номенклатуре и классификации. Оно названо *правилом доминантного валентного числа* (*dominant-valency rule*) (Hatert, Burke, 2008). турмалина происходят гетеров Комиссии, должно применяться (*the dominant-valency rule*). Согласно «доминантному правилу» двухвалентные Mg, Fe, Li называют такой турмалин шерлодом, название не по преобладающему докс — свойства минерала аддитивны, минерал называется по условию — это наибольшее из всех.

Определим критический со-
по правилу доминирующей вал-
его минерала находятся кати-
 $D^{(n+1)+}_{\infty-3}$. Катионы валентности
например 0.6. Пусть будет: (В)
быть назван именем В, при это-
является набор $(D_{1.400}B_{0.501}A_{0.500})$